

Abbildung 5-1: Auszug aus dem Domain Namensraum

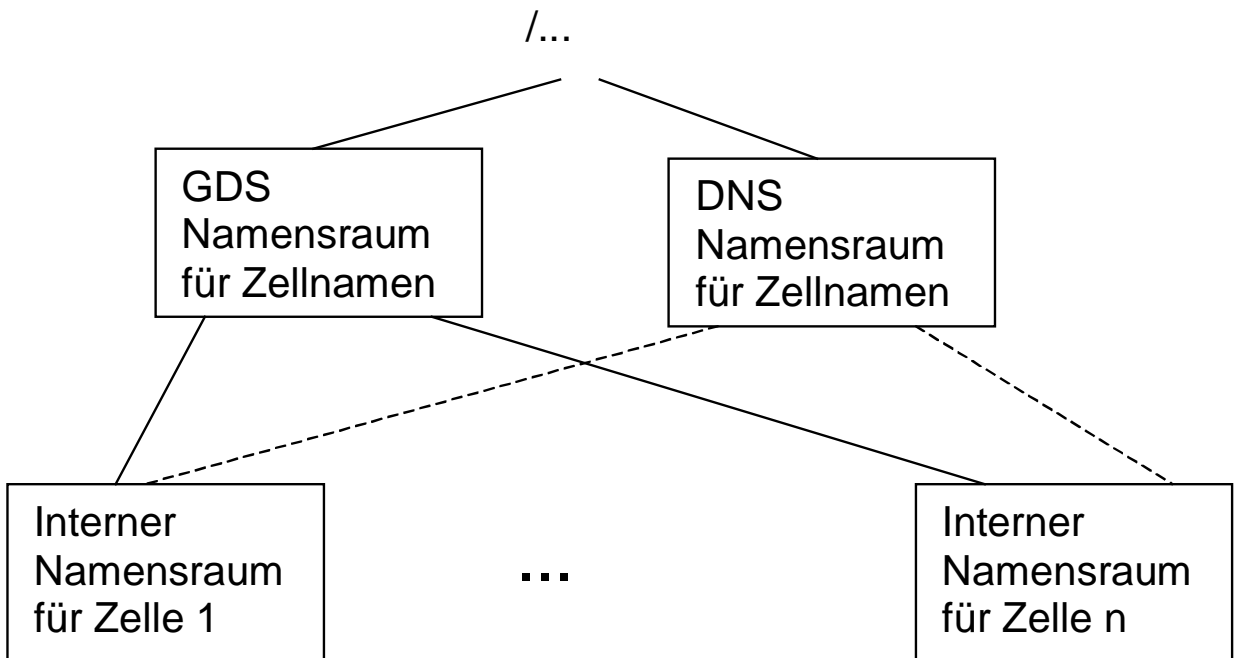


Abbildung 5-2: Der Namensraum eines DCE-Systems mit n Zellen, die in X.500-Notation oder in DNS-Notation angesprochen werden.

| Präfix                                     | Zellname                                      | lokaler Name                    |
|--|---|---------------------------------|
| /... bedeutet global<br>/.: bedeutet lokal | In X.500-Notation<br>oder in DNS-<br>Notation | Hierarchischer<br>Unix Filename |

Objektname = /Präfix/Zellname/lokaler Name

Client Maschine

Server Maschinen

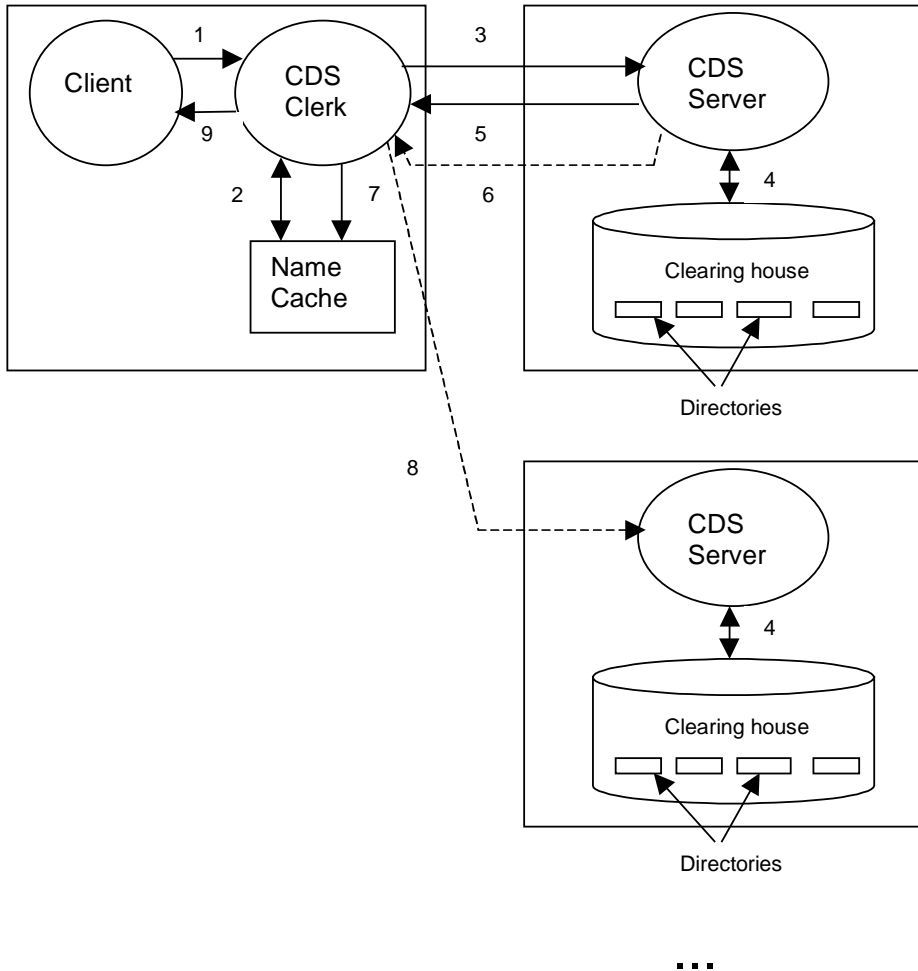


Abbildung 5-4: Durchzuführende Schritte bei einer Namensauflösung in DCE

Client Maschine

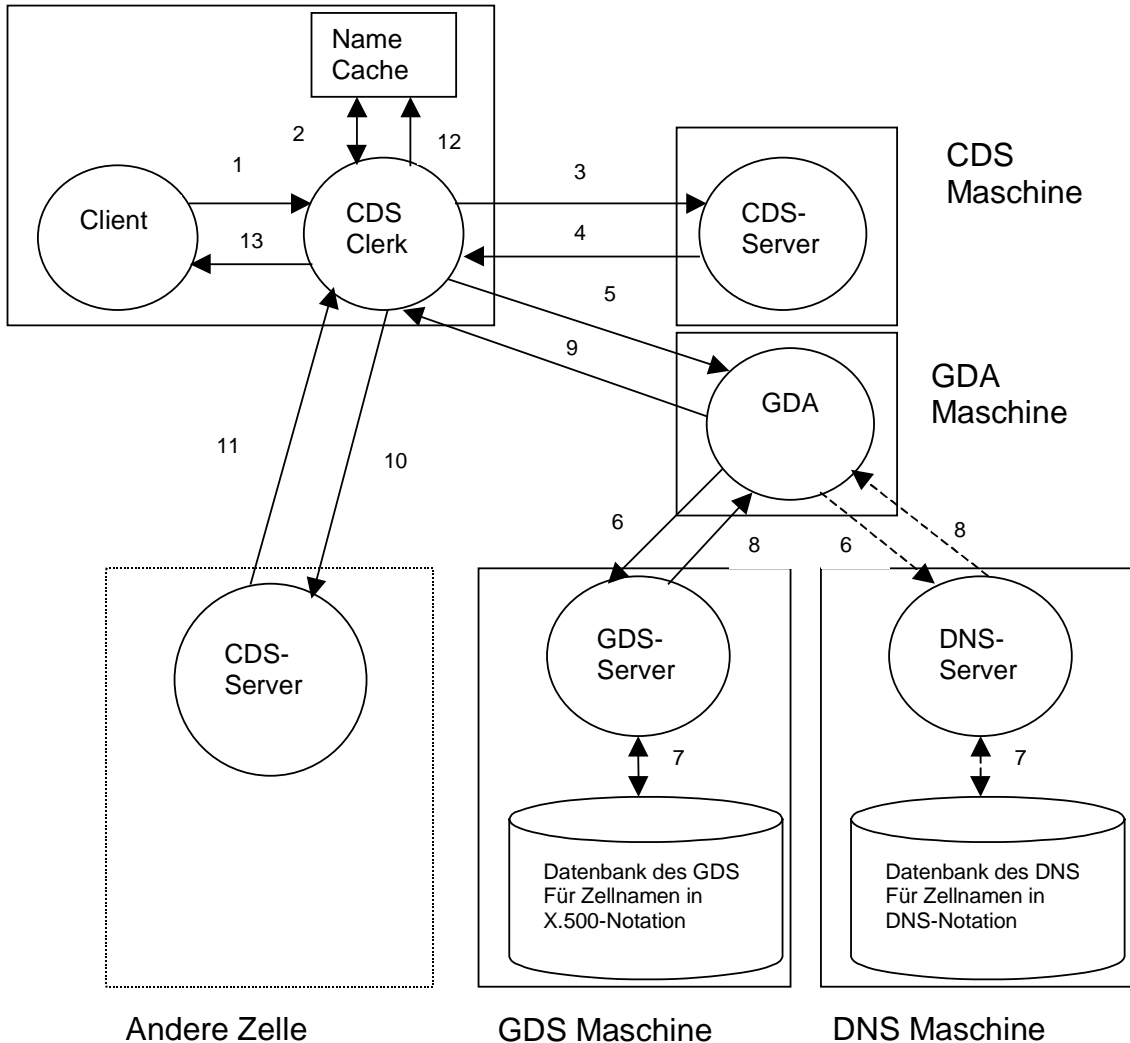


Abbildung 5-5: Namensauflösung über Zellen hinweg bei DCE

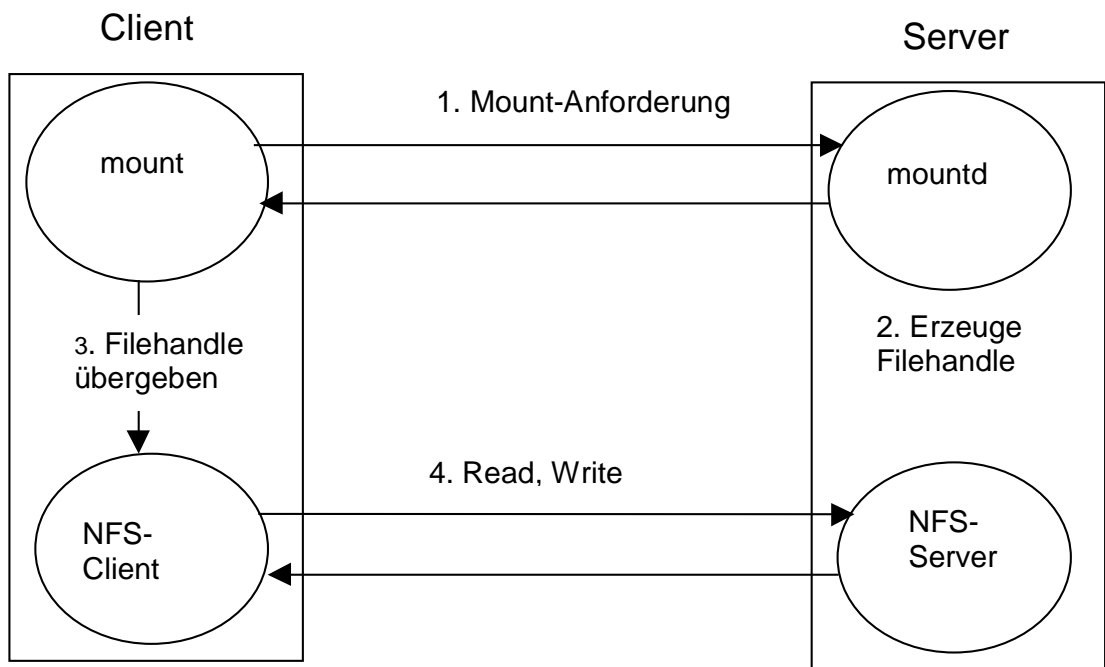
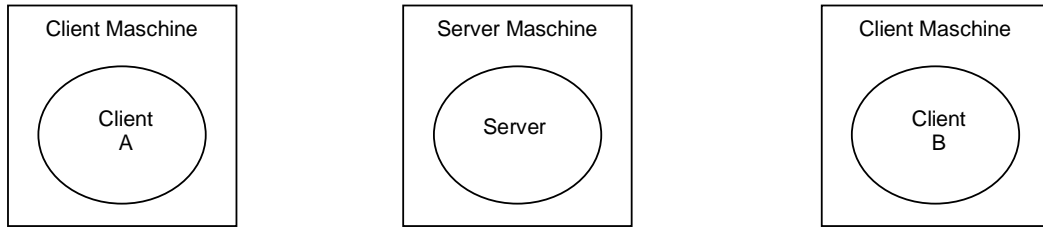
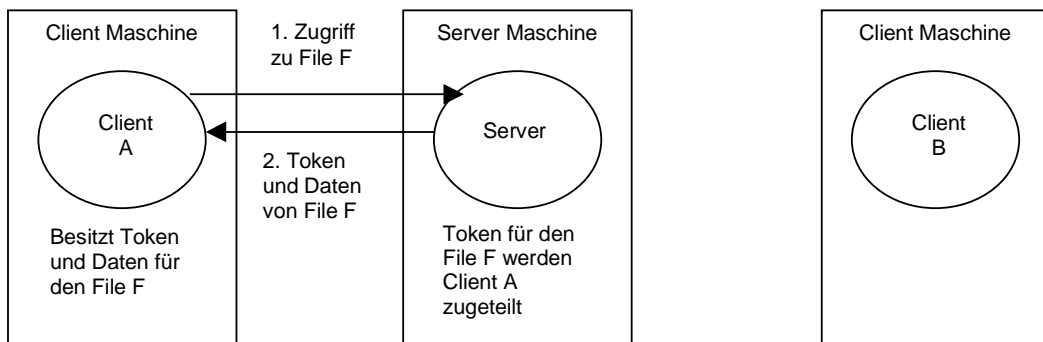


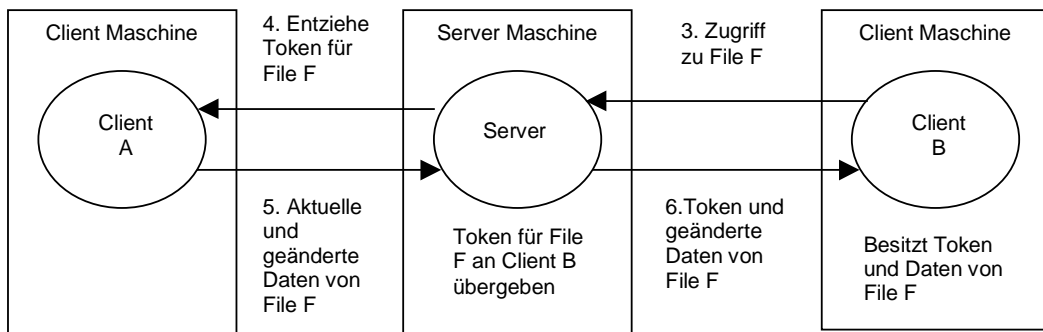
Abbildung 5-6: Ablauf der Mount-Operation



a) Initialzustand der Servermaschine mit zwei Clientsmaschinen

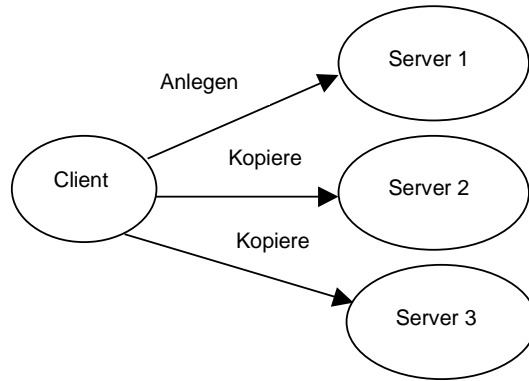


b) Zustand nachdem Client A das Token und die Daten von File F erhalten hat

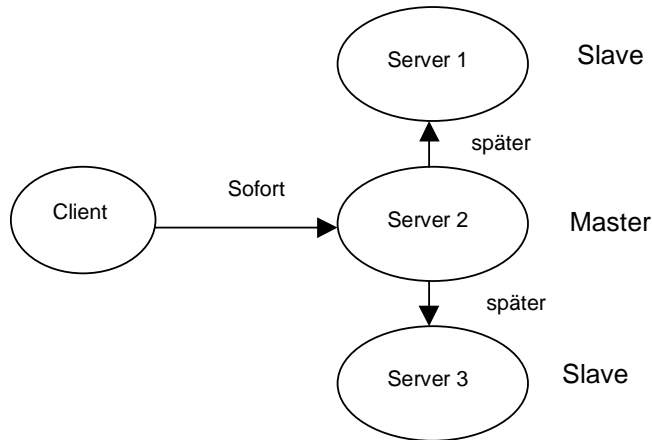


c) Zustand nachdem Client B das Token und die Daten von File F erhalten hat

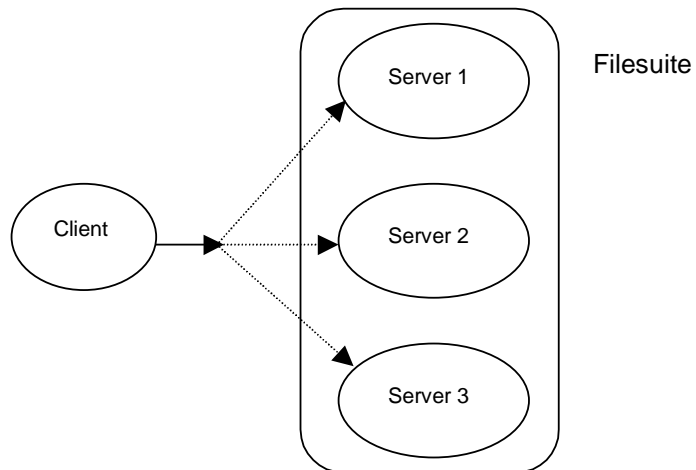
**Abbildung 5-7: Token-basierter Ansatz zur Implementierung der Unix-File Semantik und der Cachekonsistenz**



**a) Explizite Filereplikation**



**b) Master-Server und Slave-Server**



**c) Server mit Filesuite**

**Abbildung 5-8: Möglichkeiten der Filereplikation**



Read-Quorum

|   |   |   |   |
|---|---|---|---|
| A | B | C | D |
| E | F | G | H |
| I | J | K | L |

Write-Quorum

a)  $N_r = 3, N_w = 10$

Write-Quorum 1

|   |   |   |   |
|---|---|---|---|
| A | B | C | D |
| E | F | G | H |
| I | J | K | L |

Write-Quorum

|   |   |   |   |
|---|---|---|---|
| A | B | C | D |
| E | F | G | H |
| I | J | K | L |

Write-Quorum 2

Read-Quorum

b)  $N_r = 6, N_w = 7$

Write-Quorum

|   |   |   |   |
|---|---|---|---|
| A | B | C | D |
| E | F | G | H |
| I | J | K | L |

Read-Quorum

c)  $N_r = 1, N_w = 12$

Abbildung 5-9: Drei Beispiele zur Erhaltung des Quorums

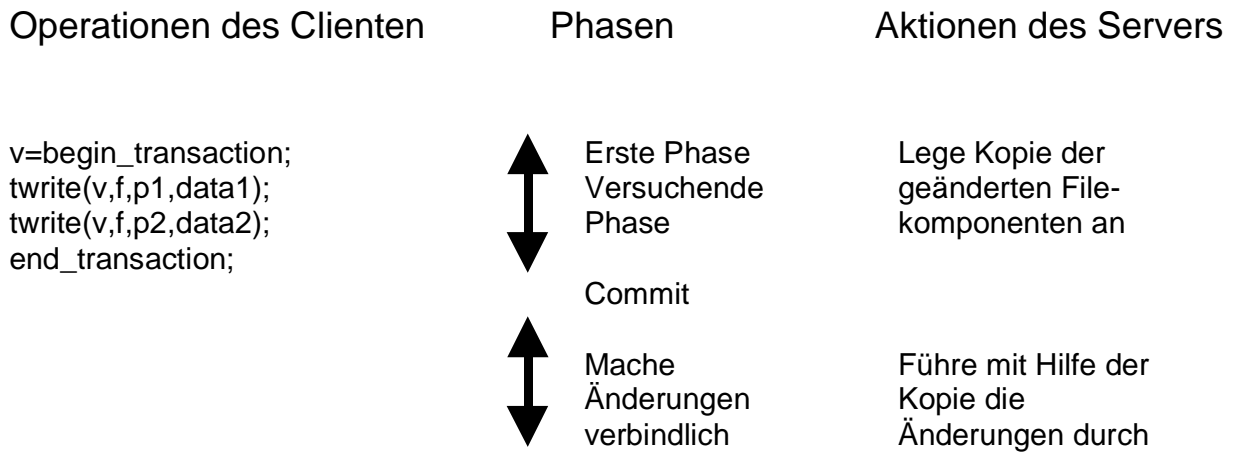


Abbildung 5-10: Ablauf der beiden Phasen einer Transaktion

Transaktion

Log-Record vor Ausführung  
der Transaktionsanweisungen

```
v=begin_transaction;  
twrite(v,f,p1,data1);  
twrite(v,f,p2,data2);  
end_transaction;
```

(write,f,p1,data1)

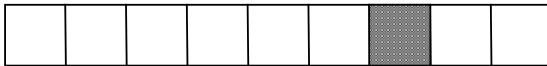
```
write(f,p1,data1)  
write(f,p2,data2)  
Commit
```

Führe Änderungen mit Hilfe des  
Log-Records am File f durch

File mit Datenelementen, aktuelle Version

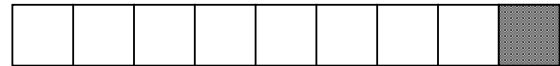


Versuchende Version von Transaktion 1



Transaktion 1:  
 v1=begin\_transaction;  
 twrite; \_\_\_\_\_  
 tread; \_\_\_\_\_  
 end\_transaction(v1);

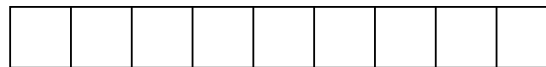
Versuchende Version von Transaktion 2



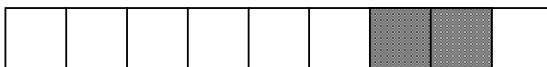
Transaktion 2:  
 v2=begin\_transaction;  
 tread; \_\_\_\_\_  
 twrite; \_\_\_\_\_  
 end\_transaction(v2);

### a) Versions-Konflikt

File mit Datenelementen, aktuelle Version

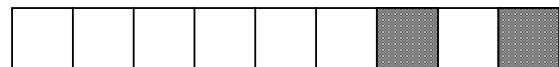


Versuchende Version von Transaktion 1



Transaktion 1:  
 v1=begin\_transaction;  
 twrite; \_\_\_\_\_  
 twrite; \_\_\_\_\_  
 tread; \_\_\_\_\_  
 end\_transaction(v1);

Versuchende Version von Transaktion 2



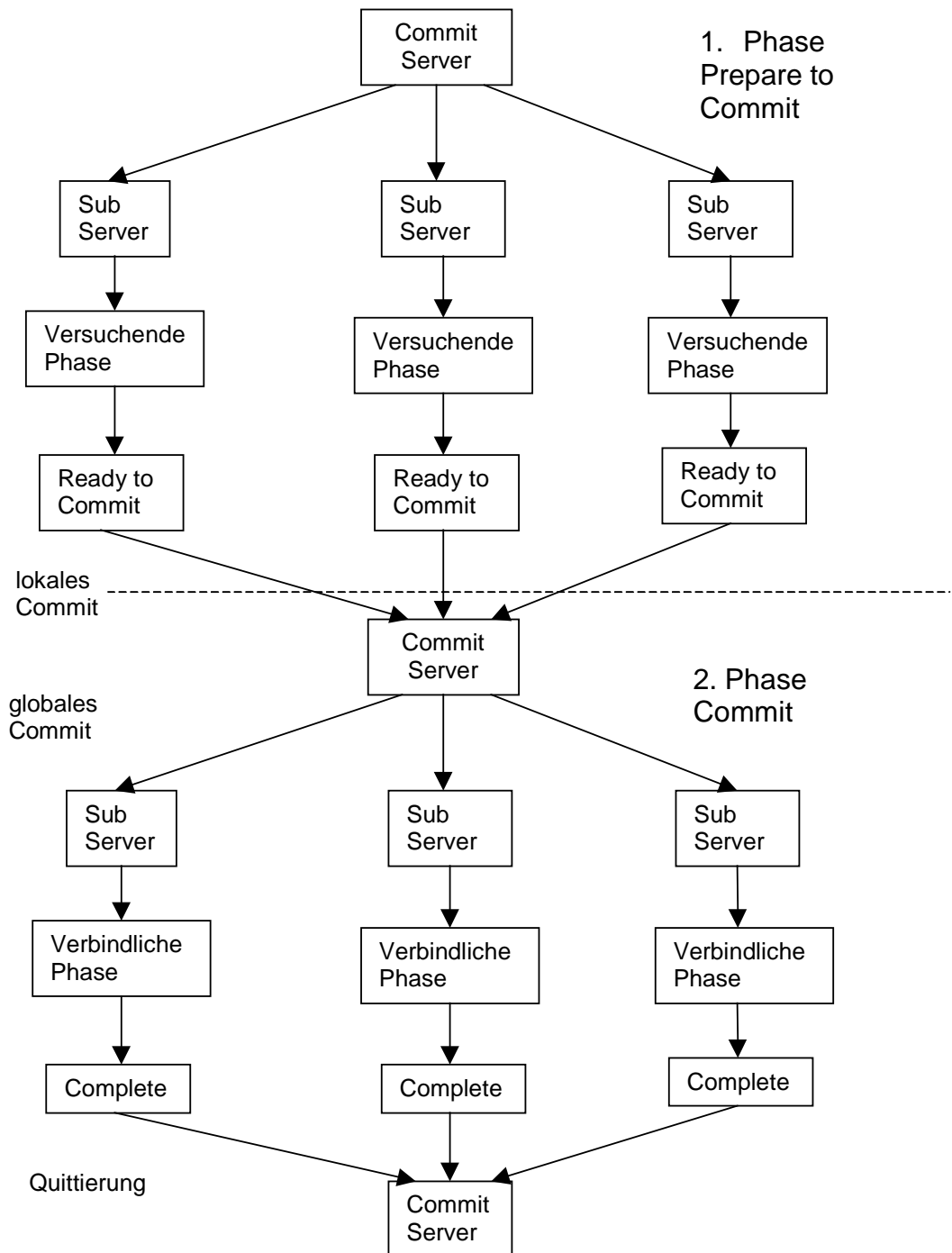
Transaktion 2:  
 v2=begin\_transaction;  
 twrite; \_\_\_\_\_  
 tread; \_\_\_\_\_  
 twrite; \_\_\_\_\_  
 end\_transaction(v2);

### b) Serialisierungs-Konflikt

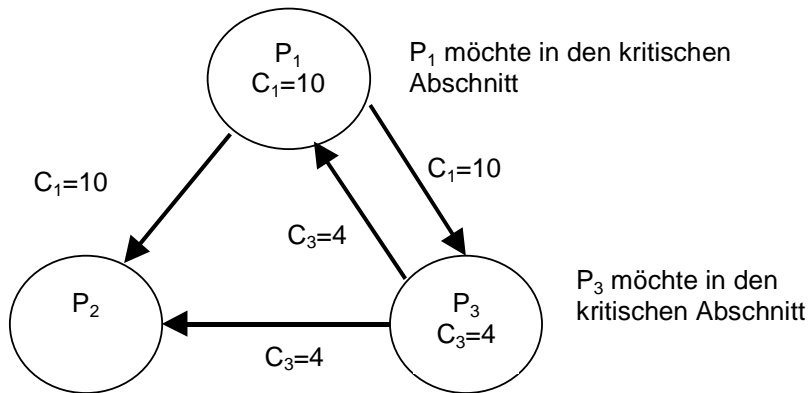
**Abbildung 5-12: Unterschied zwischen**  
**a) Versions-Konflikt und**  
**b) Serialisierungs-Konflikt**

| gesetzte Locks                    | zu setzende Locks innerhalb der Transaktion beim |                                      | durchzuführende Aktionen in einer anderen Transaktion beim |              |
|-----------------------------------|--|--------------------------------------|--|--------------|
|                                   | tread  | twrite                               | tread  | twrite       |
| keiner<br>read-Lock<br>write-Lock | read-Lock<br>ok read<br>ok read                  | write-Lock<br>write-Lock<br>ok write | ok read<br>wait  | wait<br>wait |

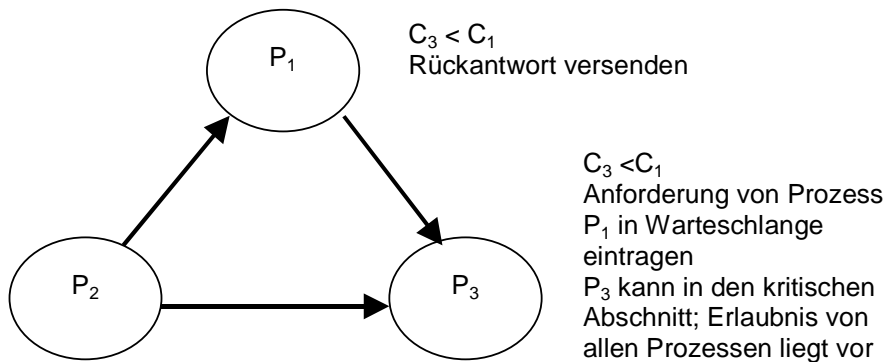
Abbildung 5-13: Zu setzende Locks und durchzuführende Aktionen bei einem Read- und Write-Lock



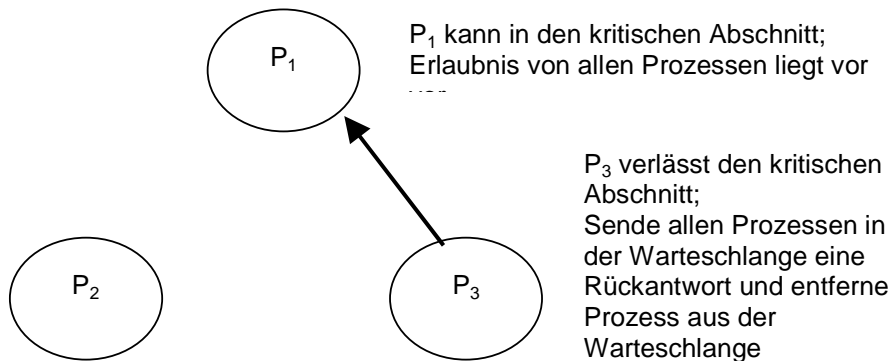
**Abbildung 5-14: Two Phase Commit Protocol**



a) Versenden der Anforderungsnachricht von  $P_1$  und  $P_3$



b) Versenden der Rückantwort



c) Versenden der Rückantwort von Prozess  $P_3$

Abbildung 5-15: Ablauf des Abfrage-basierten Algorithmus bei drei Prozessen

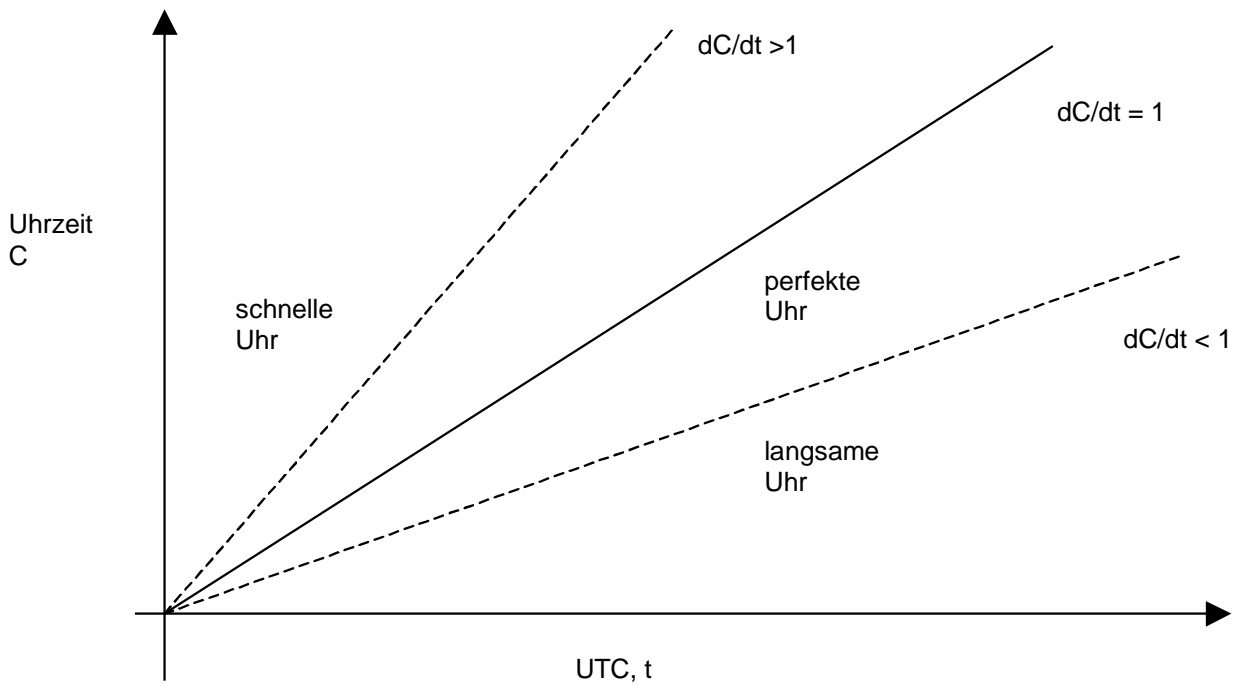


Abbildung 5-16: Ideale, zu schnell und zu langsam gehende Uhren



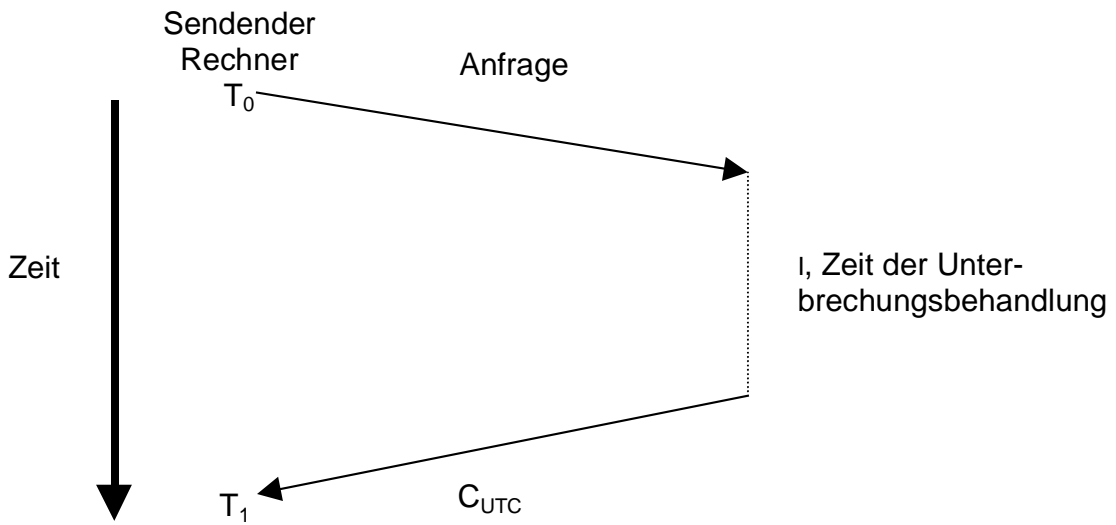
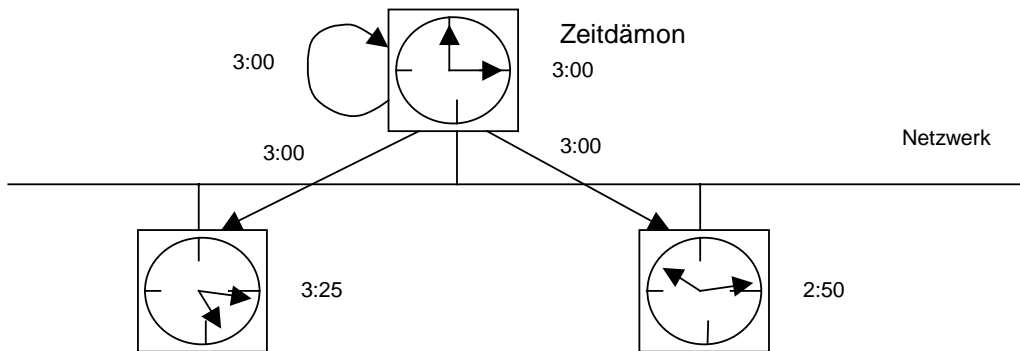
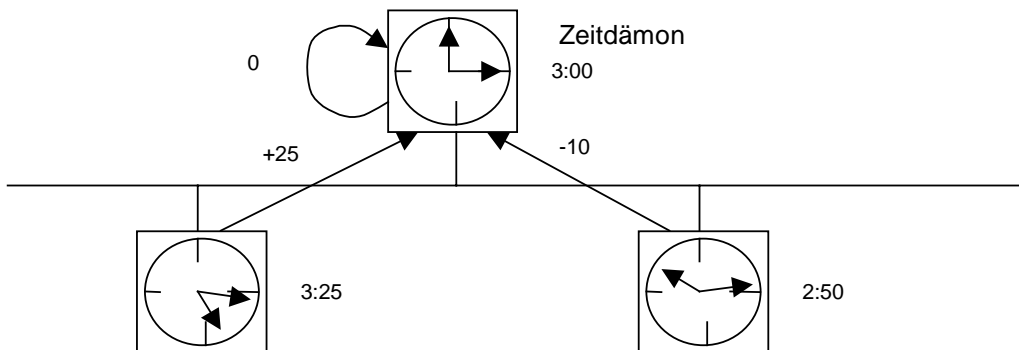


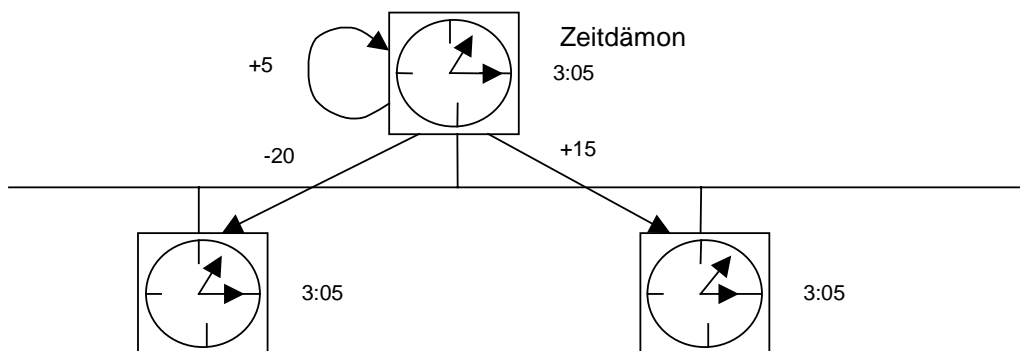
Abbildung 5-17: Abfragen der aktuellen Zeit beim Zeit-Server



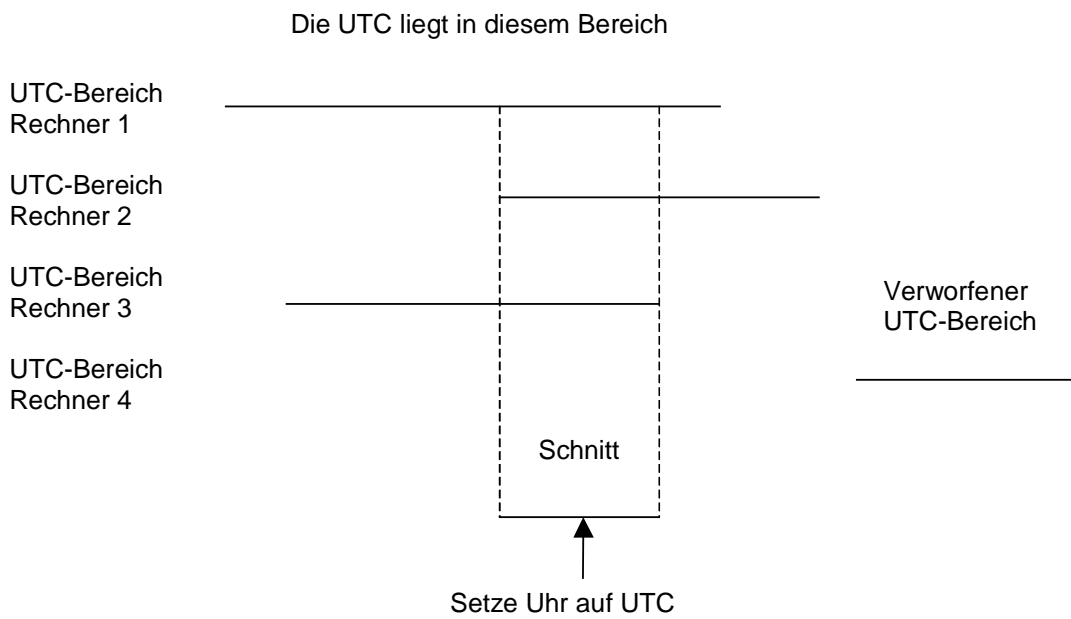
a) Der Zeitdämon befragt alle Rechner nach ihrer Zeit



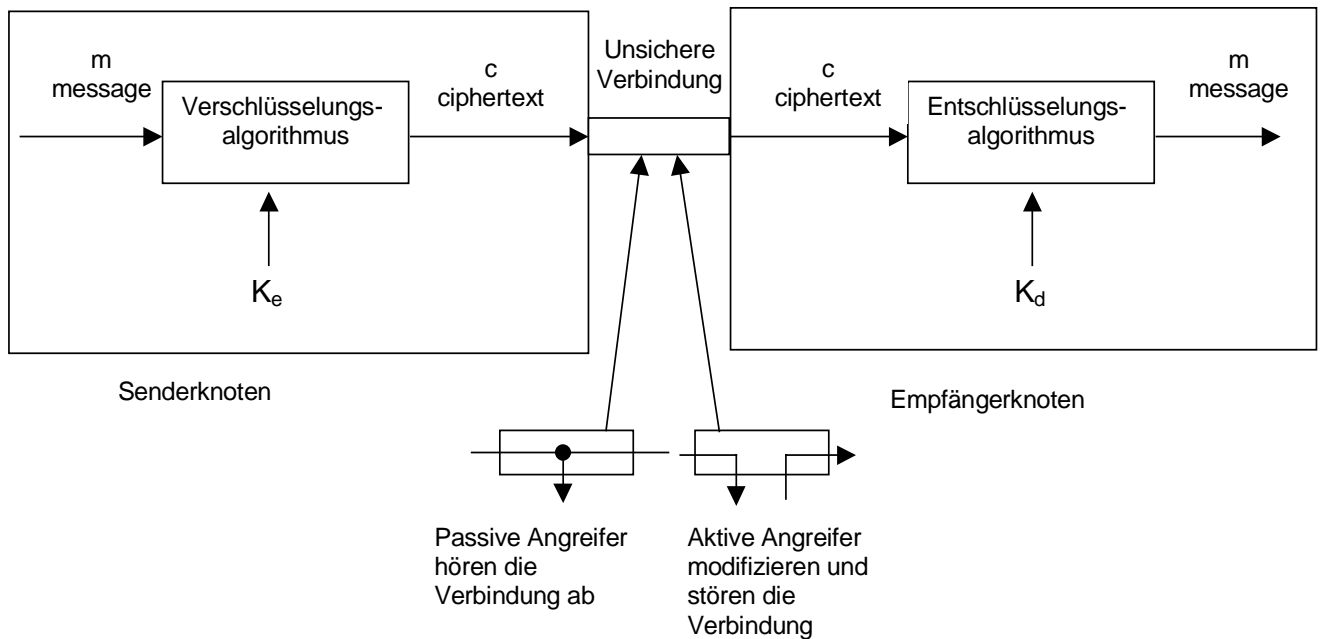
b) Die Rechner senden ihre Antworten



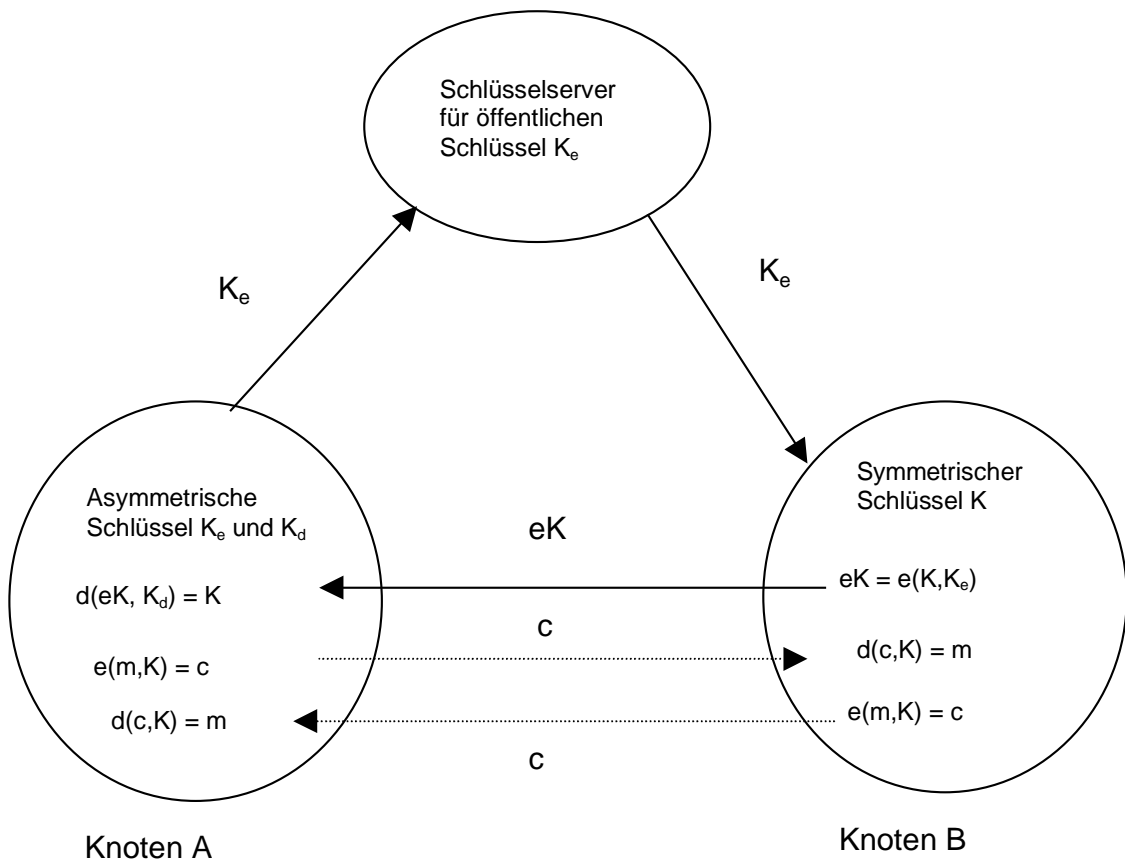
c) Der Zeitdämon teilt den Rechnern mit, wie sie ihre Uhren angleichen müssen



**Abbildung 5-19: Berechnung der UTC aus mehreren Zeitquellen, welche einen UTC-Bereich liefern**



**Abbildung 5-20: Allgemeine Struktur eines Kryptosystems**



**Abbildung 5-21: Benutzung eines asymmetrischen Kryptosystems zur Einrichtung eines symmetrischen Kryptosystems**

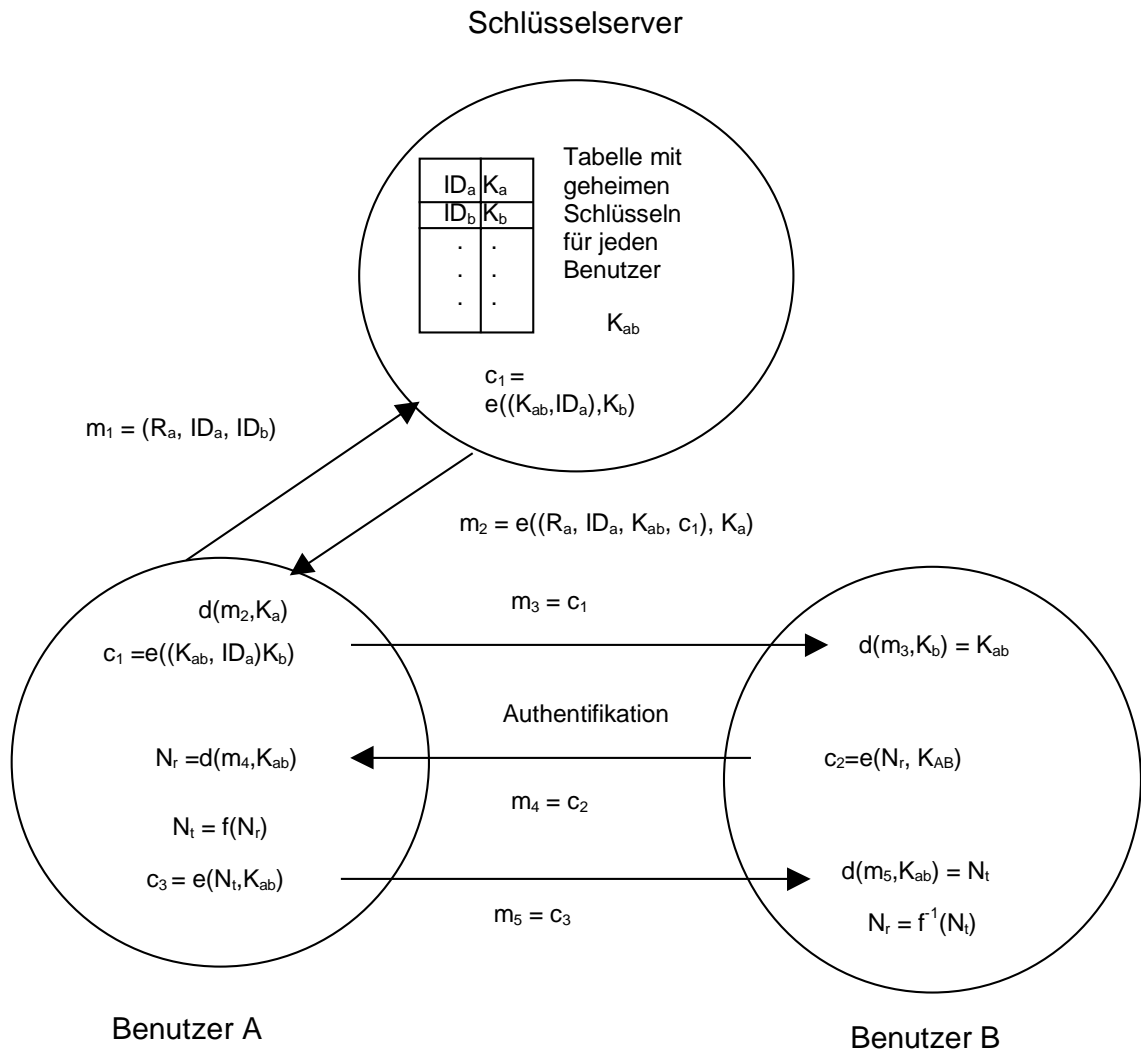


Abbildung 5-22: Schlüsselverteilung mit einem Schlüsselserver

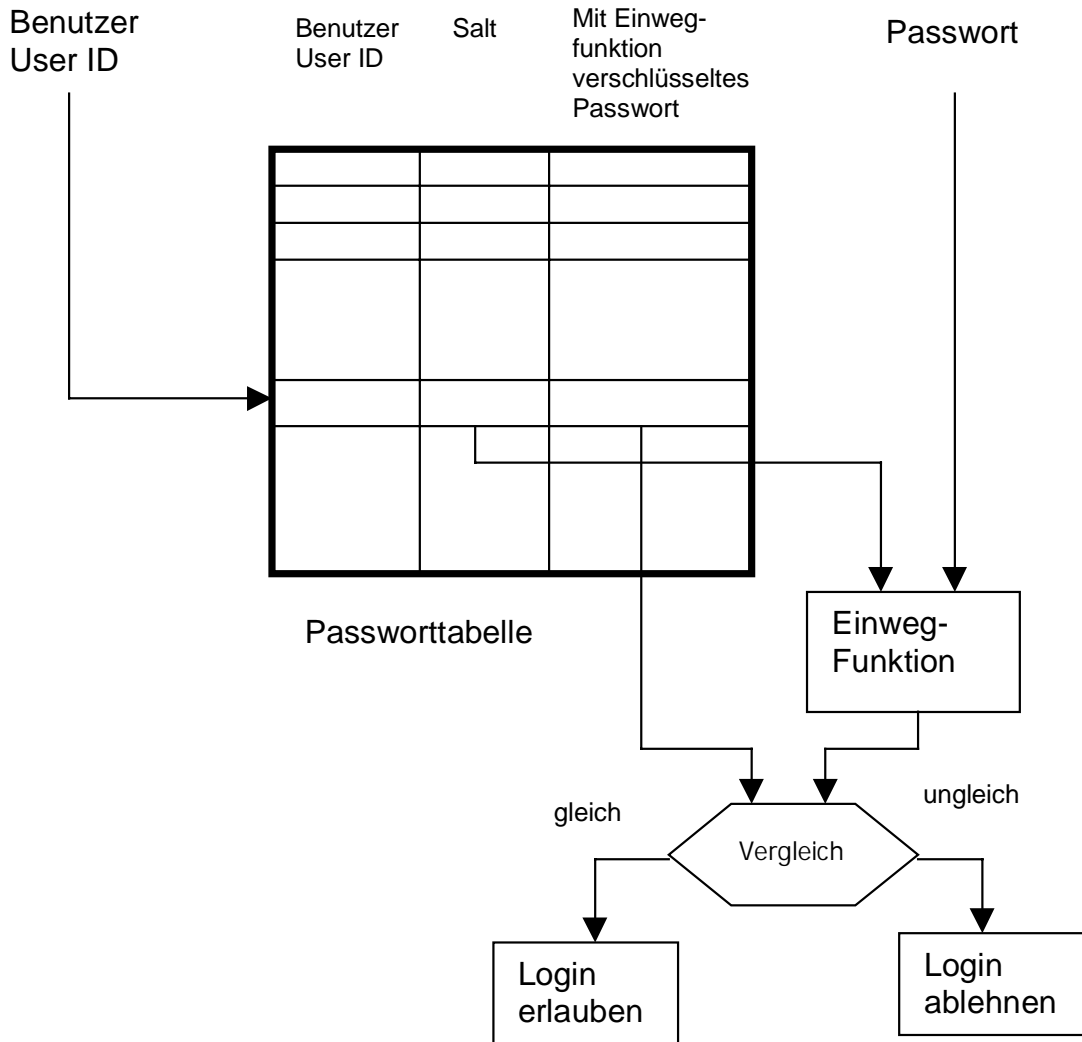


Abbildung 5-23: Authentifikation beim Login

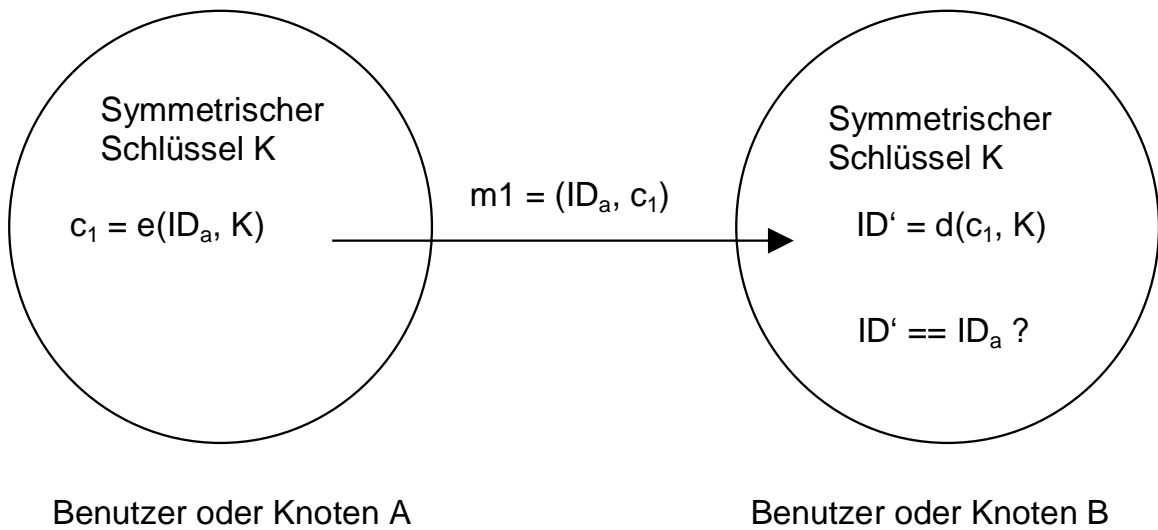
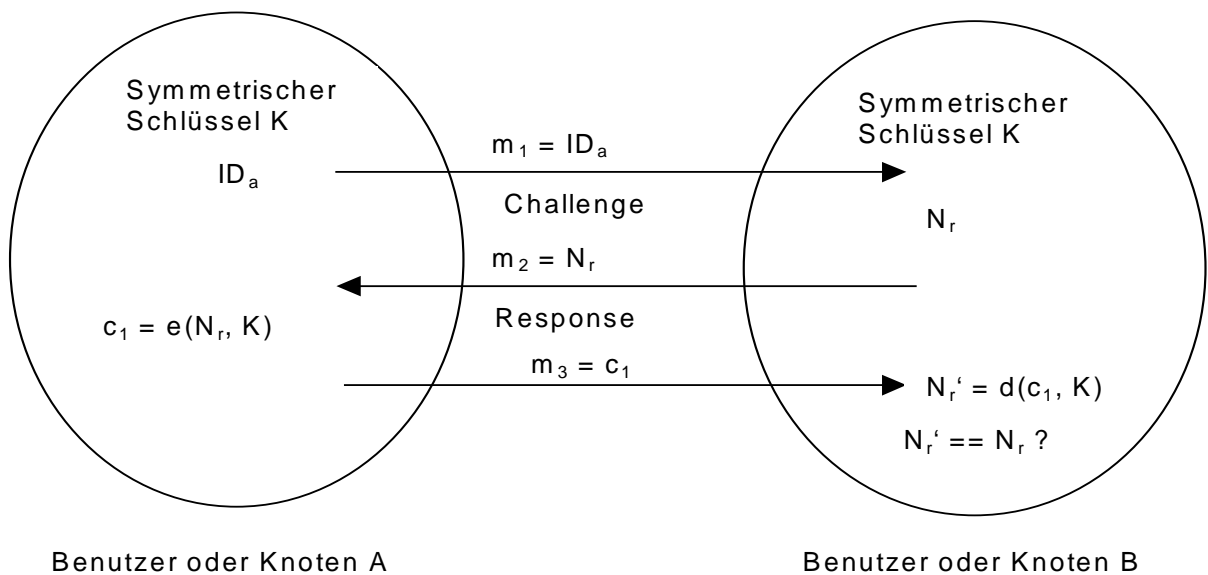


Abbildung 5-24: Authentifikation mit Hilfe eines symmetrischen Kryptosystems





**Abbildung 5-25: Authentifikation mit einem Challenge Response Protokoll basierend auf einem symmetrischen Kryptosystem**

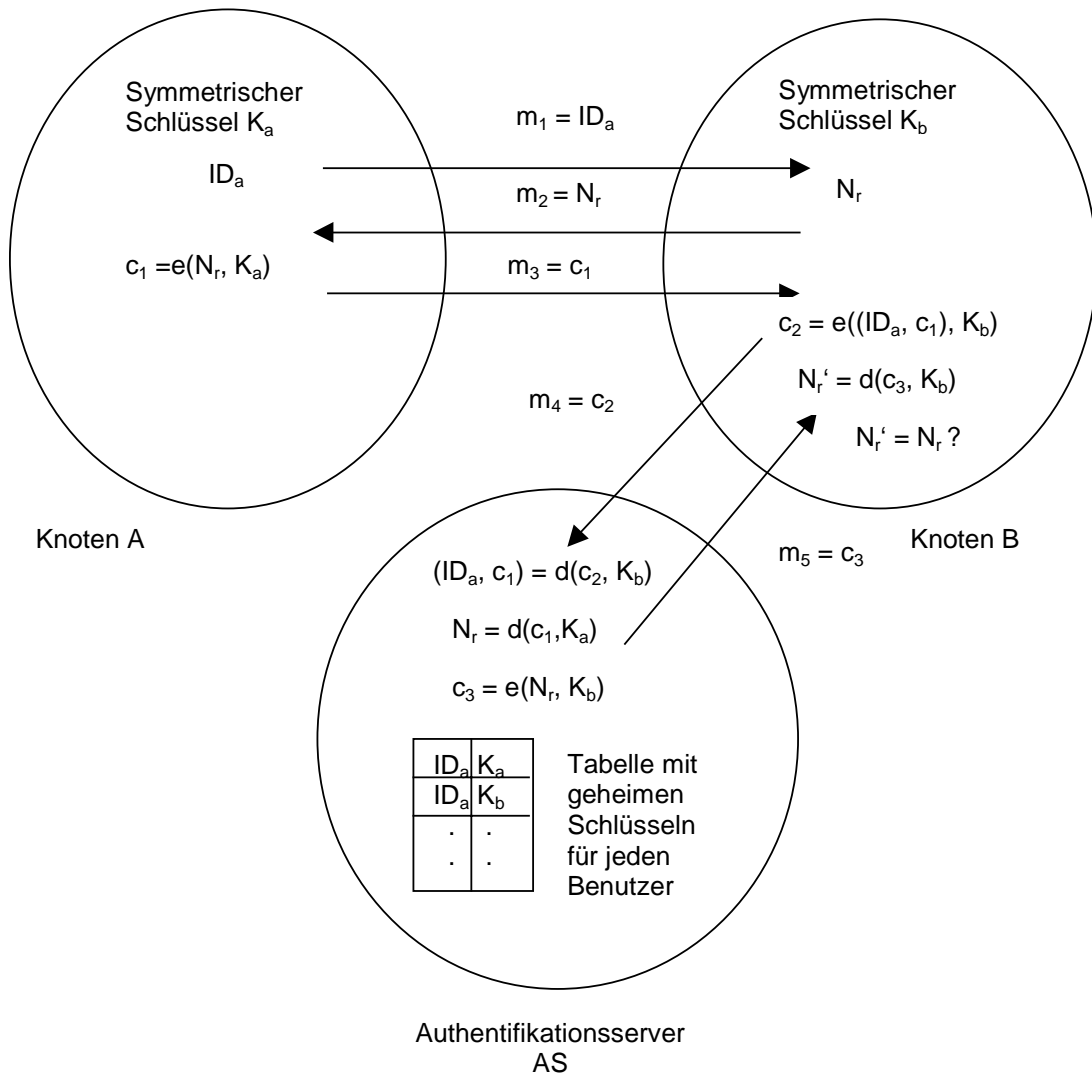


Abbildung 5-26: Authentifikation mit einem zentralen Authentifikationsserver AS

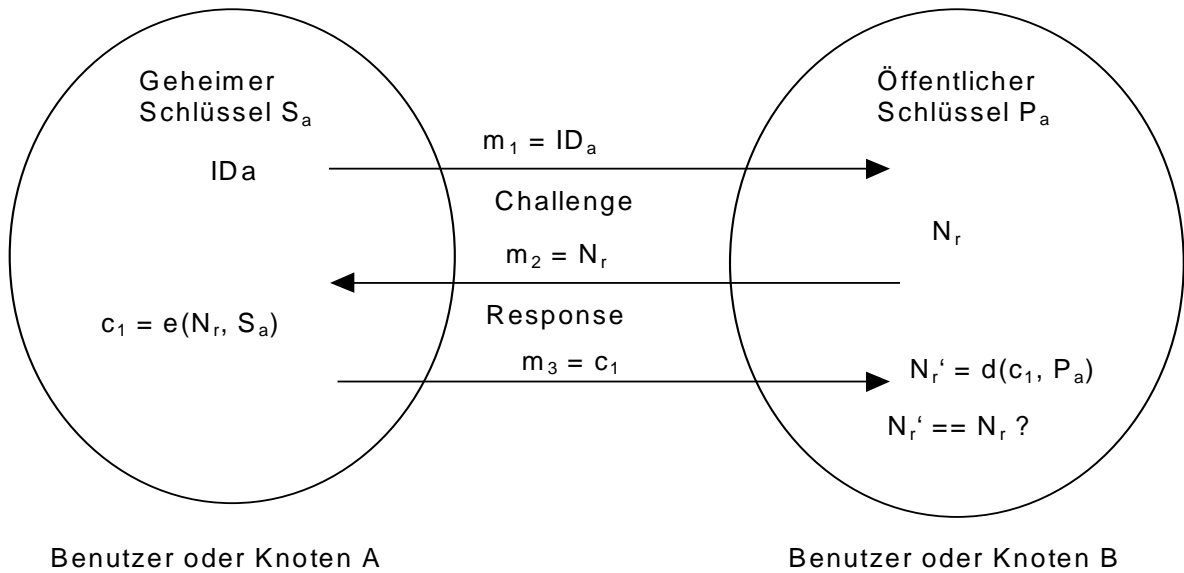


Abbildung 5-27: Authentifikation mit einem Challenge Response Protokoll basierend auf einem asymmetrischen Kryptosystem

Kerberos Server Knoten (physikalisch geschützt)

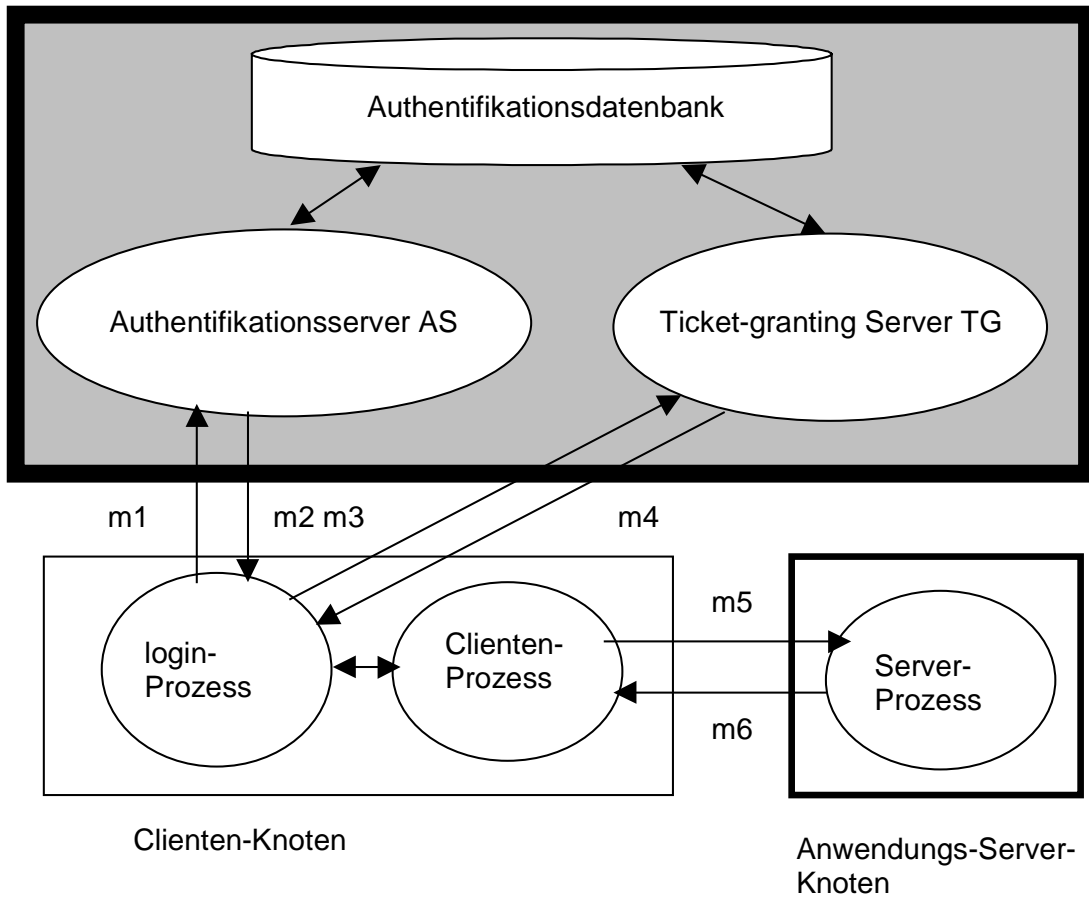


Abbildung 5-28: Komponenten des Kerberos Systems